

## مدل سازی و شبیه سازی سیستم قدرت با رویکرد پدافند غیرعامل

### در مقابل حملات الکترومغناطیسی

رضانعلی آزاده دل<sup>۱</sup>، حسن منصف<sup>۲</sup>، حمید دهقانی<sup>۳</sup>

تاریخ دریافت: ۱۳۹۳/۰۶/۰۵

تاریخ پذیرش: ۱۳۹۳/۰۹/۱۲

#### چکیده

زیرساخت های کلیدی به ویژه سیستم های قدرت از بدو پیدایش تاکنون، بخش جدایی ناپذیر زندگی جوامع بشری محسوب می شوند؛ بنابراین از لحاظ مواجهه با خطر از سوی عوامل تهدید از پتانسیل بالایی برخوردارند. به همین دلیل، امنیت سیستم های مربوط به آنها، به امنیت ملی کلان جامعه گره می خورد و تلاش برای حفظ این امنیت، اهمیت زیادی نزد مدیران و تصمیم گیرندگان عالی رتبه دارد. عوامل تهدید سیستم های قدرت، شامل حوادث طبیعی و انسان ساز است. هدف اصلی این مقاله، مدل سازی و شبیه سازی سیستم قدرت با رویکرد پدافند غیرعامل در مقابل تهدیدات الکترومغناطیسی و بررسی راه کارهای افزایش ایمنی و امنیت آن در برابر این نوع تهدیدات خواهد بود. شناسایی تهدیدات با تعیین سناریوهای وقوع آن ها به منظور ارائه راهکارهای حفاظتی و جلوگیری از اختلال یا تخریب در سیستم قدرت برای حفظ و تداوم فرایندهای کاری، سرمایه ها و منابع مربوطه، امری ضروری می نماید. در این مقاله، منظور از سیستم قدرت، یک ایستگاه فشار قوی دارای اتاق فرمان و تهدیدات مورد نظر برای آن نیز از نوع انفجارات اتمی بالای سطح زمین (HEMP) و فرستنده های توان بالا (HPEM) است. با توجه به اینکه تجهیزات مهم سیستم قدرت مورد نظر این تحقیق، شامل محفظه های مربوط به سیستم الکترونیکی، رک های کنترلی و سازه های بتنی برای ایستگاه قدرت می باشد، لذا میزان کیفیت حفاظت سازی (SE) در هریک از آن ها از طریق نرم افزار شبیه ساز CST، مورد بررسی قرار می گیرد. نتایج به دست آمده نشان می دهد که روزه های مستطیلی عریض تعبیه شده در ساختارهای محفظه ها و رک های یاد شده، دارای کمترین و روزه های دایروی دارای بیشترین حفاظت الکترومغناطیسی است. نتایج شبیه سازی برای سازه ایستگاه ها نشان می دهد که ساختمان های بتنی، تقریباً هیچ گونه حفاظتی در برابر تهدیدات ندارند؛ اما در صورتی که در ساختارشان از بتن مسلح استفاده شود، میزان پارامتر SE در فرکانس های پایین، بهبود می یابد. مروری بر راهکارهای حفاظتی، بر اساس نتایج به دست آمده از تحقیقات قبلی و شبیه سازی های انجام گرفته، مفاد بخش پایانی این مقاله را تشکیل می دهد.

**کلیدواژه ها:** سیستم قدرت، تهدیدات، HEMP، HPHEM، کیفیت حفاظت سازی (SE)

۱- دانشجوی کارشناسی ارشد برق الکترونیک دانشگاه آزاد اسلامی واحد تهران مرکز - Azadehdelir@yahoo.com - نویسنده مسئول

۲- دانشیار و عضو هیئت علمی دانشگاه آزاد اسلامی واحد تهران مرکز

۳- استادیار و عضو هیئت علمی دانشگاه صنعتی مالک اشتر

## ۱- مقدمه

در دو دهه اخیر، نگرانی نسبت به حملات خصمانه علیه زیرساخت‌های مختلف به‌ویژه سیستم قدرت، رو به افزایش نهاده است؛ به‌ویژه، به دلیل به‌کارگیری نیروهای ناتوان از این تهدید در طول جنگ‌های بالکان و دوم خلیج فارس، این نگرانی رو به افزایش گذارده است [۱۳]. به دلیل وابستگی سایر زیرساخت‌ها به زیرساخت‌های قدرت الکتریکی، تامین و حفظ امنیت آن‌ها از جایگاه مهمی برخوردار می‌باشد [۱۴-۱۶]. از این رو، برآورد و مدل‌سازی آسیب‌پذیری‌ها در این زیرساخت (و سایر زیرساخت‌ها)، موضوع مهم کارهای تحقیقاتی اخیر بوده است [۱۷، ۱۸، ۲۲-۲۵]؛ چراکه با بروز هرگونه آسیب به این زیرساخت‌ها، جامعه با چالش‌های متنوعی مواجه خواهد شد [۱] و هرچه وابستگی جامعه به این سیستم بیشتر باشد، چالش‌های مذکور نیز از شدت و پیچیدگی بیشتری برخوردار خواهد شد [۲]. در مجموع، حوادثی که به‌طور بالقوه می‌توانند تهدیدی برای سیستم قدرت باشند، به دو دسته طبیعی و انسان‌ساز تقسیم می‌شوند. حوادث طبیعی می‌تواند در قالب سیل، طوفان، زلزله و آذرخش و حوادث انسان‌ساز نیز می‌تواند به‌صورت پدیده‌هایی نظیر جنگ، خرابکاری و حادثه صنعتی، تهدیدات جدی برای عملکرد سیستم مذکور مطرح شوند [۱۸-۲۰].

حملات خصمانه‌ای که با دخالت عامل انسانی و با هدف ایجاد خسارات و تلفات رخ می‌دهد، در زمره حوادث انسان‌ساز (عمدی) قرار دارد. یعنی در شکل‌گیری این نوع حوادث، انگیزه، آگاهی و هدف نقش مهمی دارند. بنابراین، وجود مدیریت در سیستم قدرت در برابر وقوع این نوع حملات برای امنیت زیرساخت‌ها، بسیار حیاتی خواهد بود؛ چراکه پیامدهای ناشی از این حملات از جنبه‌های مختلف عملیاتی، مالی، روانی، اجتماعی و سیاسی بر جامعه تحمیل می‌گردد. برخی از ویژگی‌های مربوط به این نوع حوادث به شرح زیر است [۲۱]:

- تهدیدات خصمانه، حوادث انسان‌سازی هستند که پیامد آن‌ها ایجاد خسارات و تلفات جبران‌ناپذیر بر زیرساخت‌ها می‌باشد.
- این نوع حملات، عامل واقعی تهدیدات و باعث ایجاد خسارات موثر است.

- این نوع تهدیدات، انتخابی‌اند و اگر هدفی بتواند اثرات مخرب‌تری در سطح جامعه داشته باشد، بدون شک مورد هجوم قرار خواهد گرفت.
- حملات در قالب فرایندهایی شکل می‌گیرند که در آنها، اقدام مهاجمان و مدافعان از یکدیگر تبعیت کرده و بر هم اثرگذارند. به بیان دیگر، یک حمله، زنجیره‌ای از رویدادهای آفندی و پدافندی و وابستگی متقابل است.

این مقاله، بر روی یکی از مهم‌ترین مصادیق مربوط به تهدیدات انسان‌ساز عمدی یعنی تهدیدات ناشی از امواج الکترومغناطیسی و

تاثیر آن‌ها بر عملکرد سیستم قدرت متمرکز می‌باشد. تهدیدی که می‌تواند عملکرد اجزای مرتبط با این سیستم را به شدت تحت تاثیر عملکرد سوء خود قرار دهد. لازم به ذکر است که تهدیدات ناشی از امواج الکترومغناطیسی - به‌عنوان یکی از تهدیدات جدید در حیطه زیرساخت‌ها و سیستم‌های قدرت - می‌تواند به‌صورت طبیعی و انسان‌ساز وجود داشته باشد. این امواج، در رنج‌های مختلف به‌صورت مستقیم و تابشی، اجزای سیستم را تحت تاثیر قرار می‌دهند و موجب آسیب آن‌ها می‌شوند.

شناسایی تهدیدات و سناریوهای تهدید احتمالی، به‌منظور ارائه راه‌کارهای حفاظت الکترومغناطیسی و جلوگیری از اختلال یا تخریب اجزای پست‌های برق، حفظ و نگهداری از فرایندهای کاری، منابع و سرمایه‌ها، امری ضروری است. به همین دلیل، آسیب‌شناسی و انجام فعالیت‌های مدیریت ریسک برای مقابله با آثار سوء ناشی از تهدیدات، همچنین اتخاذ تدابیر لازم برای ارتقاء پایداری و قابلیت اطمینان اجزاء سیستم قدرت، ضرورت بسیاری پیدا می‌کند. مدل‌سازی و در پی آن، تدوین و به‌کارگیری هوشمندانه رویکردهای پدافند غیرعامل می‌تواند راهکاری مناسب برای این منظور باشد.

در این مقاله، با مروری بر مولفه‌های کلیدی سیستم قدرت و شناسایی تهدیدات الکترومغناطیسی ناشی از انفجارات اتمی بالای سطح زمین<sup>۱</sup> (HEMP) و فرستنده‌های توان بالا<sup>۲</sup> (HP-EM)، به شبیه‌سازی میزان کیفیت حفاظت‌سازی (SE) در اجزای این سیستم و ارائه دیدگاهی برای به‌کارگیری اصول پدافند غیرعامل در مواجهه با تهدیدات مورد نظر مبادرت می‌گردد. در این راستا، بخش دوم به مروری بر اجزاء سیستم قدرت، بخش سوم به پدافند غیرعامل، بخش چهارم به تاثیر تداخل پالس‌های الکترومغناطیسی بر عملکرد سیستم قدرت و بخش پنجم نیز به شبیه‌سازی میزان کیفیت حفاظت‌سازی<sup>۳</sup> (SE) در اجزای این سیستم اختصاص دارد. سرانجام در بخش ششم، پس از ارائه نتیجه‌گیری، راه‌کاری با هدف تحقق راهبردهای پدافند غیرعامل جهت مقابله با تهدیدات مورد نظر در سیستم قدرت معرفی خواهد گردید.

## ۲- مروری بر اجزاء سیستم قدرت: پست برق ۶۳ کیلوولت

سیستم قدرت مورد نظر این مقاله، یک پست فشار قوی (۶۳ کیلوولت) دارای اتاق فرمان و سایر اجزای مربوطه است. اصولاً، هر پست یا ایستگاه<sup>۴</sup> فشار قوی برق به‌عنوان یکی از قسمت‌های مهم شبکه تولید، انتقال و توزیع نیرو، مکانی است که در آن، مجموعه‌ای

1- High Altitude Electromagnetic Pulse

2- High Power EM

3- Shielding Effectiveness

4- Substation

ترانسفورماتورهای اندازه گیری ارتباط دارد، انجام می شود. کلیه وسایل مذکور به همراه سیستم های تغذیه جریان متناوب و مستقیم، در داخل مکانی قرار می گیرند که به آن ساختمان کنترل می گویند. این مکان، دارای کلیه تجهیزات جانبی برای کار اپراتورهای پست می باشد. به طور کلی یک ساختمان کنترل ممکن است از اتاق های مختلف زیر تشکیل شود [۱۴ و ۱۵]:

(۱) *اتاق فرمان*: محلی برای استقرار اپراتورها و انجام عملیات کنترل تجهیزات.

(۲) *اتاق حفاظت*: مکانی برای جاسازی رله ها و وسایل حفاظتی.

(۳) *اتاق باطری*: مکانی برای سیستم های تغذیه اضطراری.

(۴) *اتاق تغذیه*: محل نصب تابلوهای مربوط به سیستم های تغذیه.

## ۲-۲- سیستم کنترل نظارتی و دستیابی به اطلاعات

"سیستم کنترل نظارتی و دستیابی به اطلاعات" که برای مدیریت و نظارت بر کنترل و جمع آوری اطلاعات طراحی شده، برای مانیتورینگ، مدیریت تصمیم گیری ها در کنترل، و اعلام اخطار برای مواقع مورد نیاز می باشد. سیستم اسکادا<sup>۴</sup> که برای این منظور طراحی می گردد، از سطح ناظر به فرایند کنترل و مانیتورینگ می پردازد و کنترل تجهیزات شبکه از نقاط مرکزی را برعهده دارد. هسته اصلی سیستم اسکادا، بسته های نرم افزاری است که بر روی سخت افزارهای استاندارد و مشخص از قبیل کنترل کننده قابل برنامه ریزی (PLC) و یا واحد پایانه های دور دست (RTU) قرار گرفته است. اولی، جانشینی برای سیستم های منطقی رله ای و تایمری غیرقابل تغییر توسط کاربر به حساب می آید و دومی نیز کلیه عملیات جمع آوری اطلاعات پست و اعمال فرامین مرکز کنترل را مدیریت می نماید [۳، ۴ و ۷].

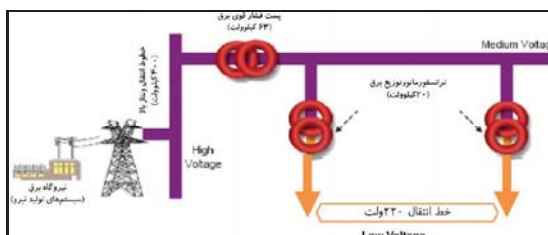
## ۲-۳- سیستم های ارتباطی

به کمک سیستم های ارتباطی و به منظور کنترل یا حفاظت از راه دور سیگنال های مخابراتی، می توان آن ها را به نقاط دیگر شبکه، ارسال و متقابلاً سیگنال های مشابه را دریافت نمود. این سیگنال ها، عمدتاً در انواع سیستم های زیر وجود دارند [۳]:

(الف) *سیستم PLC* به کمک این سیستم، می توان کنترل از راه دور بار را به کمک انتقال اطلاعات انجام داد و علاوه بر آن، سیگنال های لازم برای حفاظت تجهیزات را ارسال یا دریافت نمود. با این سیستم، مکالمات تلفنی با دیگر مراکز کنترلی نیز انجام می گیرد.

(ب) *سایر سیستم های مخابراتی از نوع بی/باسیم* ارائه شده توسط شرکت مخابرات.

از تجهیزات الکتریکی وجود دارد و برای افزایش یا کاهش سطح ولتاژ، قطع و وصل خطوط، انتقال و توزیع برق مورد استفاده قرار می گیرد. ولتاژ تولیدی نیروگاه ها باید مطلوب مصرف کننده های نهایی باشد، ولی به جهت وجود موانع زیاد از جمله بُعد مسافت بین نیروگاه و مصرف کننده، و نیز ایجاد تلفات خط انتقال و افت ولتاژ، افزایش ولتاژ در نیروگاه و تقلیل این افزایش در مکان دیگر، لازم و ضروری است. هدف از ایجاد این پست ها، برآوردن وظیفه دوم است [۳]. شکل (۱)، نمایشی از جایگاه سیستم قدرت مورد نظر این مقاله را در یک شبکه تولید، انتقال و توزیع برق نشان می دهد.



شکل ۱- نمایشی از جایگاه سیستم قدرت مورد نظر این مقاله در شبکه تولید، انتقال و توزیع نیرو

در یک دسته بندی کلی، پست های برق از حیث محل نصب به دو دسته پست سرپوشیده یا داخلی<sup>۱</sup> و پست نصب شده در فضای آزاد یا خارجی<sup>۲</sup> تقسیم می شوند. در این صورت، هر پست برق به طور کلی از دو قسمت اصلی تشکیل می گردد: (۱) قسمت فشار قوی یا همان فضای بیرون پست که تجهیزات فشار قوی در آن قرار می گیرد و (۲) قسمت های حفاظتی و کنترلی آن شامل تجهیزات حفاظتی، کنترلی و مخابراتی که داخل ساختمان آن قرار دارد. پست داخلی که مورد نظر این مقاله است، شامل انواع بخش های الکتریکی، الکترونیکی و کنترلی است. کلیه این بخش ها در داخل یک ساختمان سرپوشیده نصب می گردند [۳]. اجزای سیستم قدرت مورد نظر این مقاله شامل ساختمان کنترل، سیستم های حفاظتی / کنترلی و سیستم های ارتباطی (نظیر PLC<sup>۳</sup>) می باشد.

## ۲-۱- ساختمان کنترل: محل نصب و استقرار تجهیزات حفاظتی و کنترلی

اصولاً حفاظت و کنترل تجهیزات پست (شامل ترانسفورماتورهای قدرت، سیستم های جبران و سوئیچ گیرها) و اندازه گیری پارامترهای مورد نیاز پست، توسط وسایلی که از طریق کابل های مناسب به سیستم های فرمان تجهیزات و ترمینال های فشار ضعیف

4- Supervisory Control And Data (SCADA)  
5- Programmable Logic Controller  
6- Remote Terminal Unit

1- In-Door  
2- Out-Door  
3- Power Line Communication

پرداختن به یک مدل تداخل شامل منبع تداخل (فرستنده)، سازوکار تزویج و ادوات حساس (گیرنده)، توسعه یافته است. تداخل الکترومغناطیسی، فرایندی است که به وسیله آن، ارسال انرژی الکترومغناطیسی به صورت سهوی<sup>۴</sup> (EMI) یا عمدی<sup>۵</sup> (IEMI) از یک سیستم به سیستم دیگر صورت می‌پذیرد. سامانه‌های الکتریکی به همراه قطعات الکترونیکی، عمدتاً سامانه‌های حساسی هستند که می‌توانند توسط پالس‌های الکترومغناطیسی (EMP) و از طریق تداخل هدایتی یا تشعشی، مورد آسیب قرار گیرند [۷ و ۲۶]. پارامتر SE که در ادامه به آن پرداخته می‌شود، در چارچوب مباحث یادشده و مستقیماً در ارتباط با حفاظت محفظه‌ها در مقابل امواج الکترومغناطیسی بیرونی و تأثیر تراوش امواج از ادوات درونی محفظه، مطرح می‌گردد.

در حالت کلی، EMP نوعی موج الکترومغناطیسی ضربه‌ای با دامنه زیاد است. یکی از عوامل ایجادکننده پالس الکترومغناطیسی، انفجار اتمی است که می‌تواند منجر به تولید پالس الکترومغناطیسی هسته‌ای<sup>۶</sup> (NEMP) شود [۲۷]. پالس الکترومغناطیسی حاصل از انفجارات هسته‌ای انواع مختلفی دارد که مهم‌ترین و مؤثرترین انواع آن، HEMP می‌باشد که به دلیل وقوع انفجارات هسته‌ای در ارتفاع چند ده کیلومتری تا چند صد کیلومتری از زمین رخ می‌دهد [۲۰]. HPEM نیز به‌عنوان یکی از منابع مایکروویوی توان بالای انسان‌ساز، مهم‌ترین نوع بمب الکترومغناطیسی محسوب می‌گردد. این سلاح، به‌عنوان یک سلاح راهبردی در جنگ‌های امروزی و آینده، مطرح می‌باشد [۷]. فناوری‌های مورد استفاده در طراحی بمب‌های الکترومغناطیسی (E-BOMB)، متفاوت از فناوری‌های به‌کاررفته در سلاح‌های هسته‌ای است. این فناوری‌ها از تنوع زیادی برخوردارند و مهم‌ترین آن‌ها شامل مواردی نظیر: مولدهای فشرده‌ساز شار مغناطیسی<sup>۷</sup> (FCG)، مولدهای هیدرودینامیکی / مغناطیسی<sup>۸</sup> (MHD) و منبع مولد امواج مایکروویوی توان بالا<sup>۹</sup> (HPM) می‌باشد [۸، ۲۸ و ۲۹].

#### ۴-۱- مقایسه تهدیدات ناشی از HEMP و HPEM

تحقیقات انجام‌شده در این زمینه نشان می‌دهد که HEMP و HPEM، بیشترین اثرات تشعشی بر روی سامانه‌های الکتریکی و الکترونیکی را دارند. پس از آزمایشات انجام‌شده درخصوص اثرات پالس الکترومغناطیسی ناشی از HEMP در دهه‌های گذشته، امروزه، تهدید HPEM نیز به‌عنوان یک تهدید جدید برای زیرساخت‌های قدرت الکتریکی مطرح شده است. اصطلاح HPEM، به‌طور کلی بر

### ۳- پدافند غیرعامل: مهم‌ترین راهکار برای حفظ امنیت سیستم قدرت

پدافند (یا دفاع)، به دو صورت عامل<sup>۱</sup> (یعنی انجام عملیات تدافعی با جنگ‌افزار) و غیرعامل<sup>۲</sup> (یعنی انجام عملیات تدافعی بدون جنگ‌افزار) تعریف می‌گردد. به بیان ساده‌تر، پدافند غیرعامل به کلیه اقدامات یا تدابیری اطلاق می‌گردد که بدون استفاده از سلاح، موجب کاهش آسیب‌پذیری، تلفات، خسارات و افزایش پایداری شود. در تعریف فوق، دو مفهوم اقدامات یا تدابیر و کاهش آسیب‌پذیری وجود دارد که به‌طور خلاصه به‌صورت زیر تشریح می‌شوند [۶]:

الف) اقدامات و تدابیر: این مفهوم که در مواردی نظیر دستورالعمل، طرح و نقشه، تدبیر و روش، نظامات و برنامه، مدیریت بحران دفاعی، پروژه‌ها/ فناوری‌های خاص و استفاده از شکاف فناوری خلاصه می‌شود، شامل راه‌کارهایی نظیر استتار و اختفا، پراکندگی، مقاوم‌سازی و استحکامات، تفرقه، موانع، فریب، پوشش، آمایش سرزمینی و اعلام خبر می‌باشد.

ب) کاهش آسیب‌پذیری: این مفهوم نیز شامل مواردی نظیر کاهش میزان ریسک، کاهش احتمال وقوع تهدید، کاهش خسارات بر اماکن و تاسیسات، کاهش تلفات نیروی انسانی و کاهش خسارت بر تجهیزات است. در آسیب‌پذیری، معمولاً مواردی نظیر آنالیز تهدید و امکان حمله، درجه‌بندی ریسک، آنالیز اهمیت و حساسیت و نیز آنالیز فوریت و اولویت باید اجرا گردد.

از نقطه نظر مدیریتی، اقدامات مورد نظر برای اجرای اصول پدافند غیرعامل، عمدتاً قبل از حادثه انجام می‌شود؛ هرچند ممکن است برخی از اقدامات آن، حین و پس از حادثه نیز صورت گیرد [۴]. بنابراین با توجه به اهمیت سیستم قدرت در حفظ و تداوم فعالیت‌های جامعه لازم است تا تدابیر امنیتی کافی برای کم‌اثر نمودن تهدیدات و کاهش آسیب‌پذیری‌ها اتخاذ گردد؛ در این حالت، پدافند غیرعامل می‌تواند نقش مهمی در استمرار فعالیت چرخه تولید تا مصرف انرژی الکتریکی ایفا نماید. برخی از اقدامات پدافندی شامل "پراکندگی"، "تفرقه"، "مستحکم‌سازی"، "آمایش سرزمینی" و "فریب"، می‌تواند برای ارتقاء ایمنی و امنیت سیستم قدرت در در مواجهه با تهدیدات مورد نظر این مقاله اجرایی شوند.

### ۴- تأثیر تداخل پالس‌های الکترومغناطیسی بر عملکرد سیستم قدرت

تداخل الکترومغناطیسی که غالباً به اختصار، «تداخل» نامیده می‌شود، یکی از مباحث اساسی در حوزه الکترومغناطیس است. با توجه به شکل (۲)، مهندسی سازگاری الکترومغناطیسی<sup>۳</sup> (EMC) با

4- Electromagnetic Interference

5- Intentional Electromagnetic Interference

6- Nuclear EMP

7- Flux Compression Generator

8- Magneto Hydro Dynamic

9- High Power Microwave

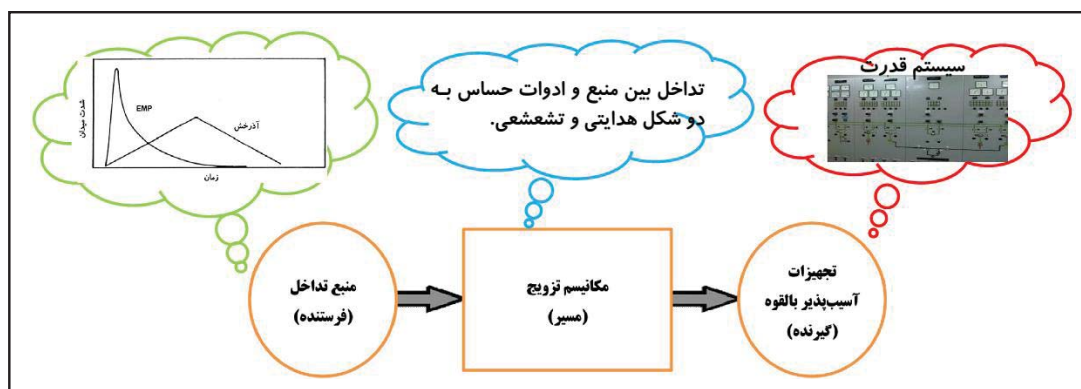
1- Active Defense

2- Passive Defense

3- Electromagnetic Compatibility

مدارات مجتمع و میکروکنترلرها در برابر تابش حدود  $30 \text{ v/m}$  آسیب پذیر نشان می دهند [۳۳]. لذا تحمیل چنین میدانی بر سیستم قدرت می تواند در کسری از ثانیه، اجزای آن را به نابودی بکشاند. در مجموع، میزان دامنه موج رسیده به تجهیزات و دستگاه های آسیب پذیر، متأثر از عوامل فیزیکی بسیاری چون فاصله از منبع تهدید، پلاریزاسیون موج تابشی، منبع تولیدکننده، شرایط جوی، جنس زمین، محل قرارگیری اجزای سیستم و غیره می باشد.

گذر یک موج الکترومغناطیسی با دامنه قوی و چگالی بالا دلالت دارد. هدف این بخش، مقایسه بین دو تهدید HEMP و HPEM است. در حالت کلی به منظور تحلیل اثرات HEMP و HPEM، لازم است تا خصوصیات کلی شامل: منابع تولید، سطح پوشش، رفتار در حوزه زمان، طیف فرکانس و شدت میدان، مورد بررسی قرار گیرد. جدول (۱) نشان می دهد که بیشینه دامنه در تهدید HEMP به اندازه  $50$  کیلوولت بر متر و در تهدید HPEM،  $100$  کیلوولت بر متر می باشد. با توجه به اینکه رایانه های امروزی و دیگر ادوات وابسته به



شکل ۲- مدل مربوط به مهندسی سازگاری الکترومغناطیسی (EMC) [۲۶]

جدول ۱- نتیجه مقایسه بین HEMP و HPEM [۸ و ۳۰-۳۲]

شدت میدان	طیف فرکانسی	رفتار در حوزه زمان	سطح پوشش	منبع تولید	مشخصه تهدید
برای $E1$ : $50$ کیلوولت بر متر	برای $E1$ : $1$ مگا تا $1$ گیگاهرتز	برای $E1$ : • زمان صعود در حد چند نانوثانیه; • زمان پیک چند ده نانوثانیه • پهنای پالس چند نانوثانیه.	بسیار گسترده مثلاً یک قاره	انفجار در ارتفاع $400$ تا $100$ کیلومتر	HEMP
۱- فرم باند باریک (HPM): $1$ تا $100$ کیلوولت بر متر ۲- فرم باند پهن (UWB): $1$ تا $100$ کیلوولت بر متر	۱- فرم باند باریک (HPM): $500$ مگاهرتز تا $5$ گیگاهرتز ۲- فرم باند پهن (UWB): $10$ تا $100$ گیگاهرتز	۱- فرم باند باریک (HPM): زمان صعود $100$ نانوثانیه; ۲- فرم باند پهن (UWB): الف) تک قطبی: • زمان صعود $90$ تا $250$ پیکوثانیه; • پهنای پالس چند نانوثانیه. ب) دو قطبی: • زمان صعود $50$ تا $250$ پیکوثانیه; • زمان بین حداقل و حداکثر شدت میدان $100$ تا $500$ پیکوثانیه	ناحیه تحت پوشش توسط آنتن	آنتن های متصل به مولدهای فرکانس بالا	HPEM

SE یا "کیفیت حفاظت‌سازی" تعریف می‌گردد. در سنجش مذکور، این پارامتر بر حسب نسبت شدت میدان ورودی قبل از حفاظت‌سازی (E1) به شدت میدان اندازه‌گیری شده پس از حفاظت‌سازی (E2) تعریف می‌شود که معمولاً بر حسب دسی‌بل و به صورت زیر بیان می‌گردد [۷ و ۳۴]:

$$SE = 20 \log_{10} |E1/E2| \quad (1)$$

در رابطه فوق، SE مثبت است؛ زیرا انتظار می‌رود که شدت میدان اندازه‌گیری شده پس از حفاظت‌سازی (E2) بیشتر از شدت میدان ورودی قبل از حفاظت‌سازی (E1) باشد؛ مثلاً اگر SE، ۱۲۰ دسی‌بل باشد، به این معنی است که دامنه E2 نسبت به دامنه E1 با یک عامل  $10^6$  کاهش می‌یابد. علاوه بر موارد یادشده، در خصوص ملاحظات مربوط به انتشار امواج الکترومغناطیسی از روی پوشش نیز می‌توان به نوع مصالح ساختمانی به کاررفته در پست برق اشاره کرد؛ زیرا این مصالح می‌توانند در نفوذپذیری EMP و آسیب‌پذیری اجزای پست، نقش به‌سزایی داشته باشند؛ لذا این موارد نیز باید به دقت مورد بررسی قرار گیرند. به‌منظور بررسی دقیق پارامترهای نفوذپذیری<sup>۳</sup> ( $\epsilon$ ) و هدایت الکتریکی<sup>۴</sup> ( $\sigma$ )، مصالح به‌کاررفته در ساختمان، به صورت گروه‌های متنوعی نظیر: بتن، آجر، شیشه و چوب تقسیم‌بندی می‌شوند [۷].

به‌طور مثال، استفاده از بتن به‌عنوان یک حفاظ، به خصوصیات الکترومغناطیسی آن که شامل هدایت الکتریکی ( $\sigma$ )، ضریب نفوذپذیری ( $\epsilon$ ) و گذردهی نسبی ( $\epsilon_r'$ ) است، بستگی دارد. بتن یک ماده غیرمغناطیسی است که میزان گذردهی نسبی آن برابر با یک است. در بررسی میزان کیفیت حفاظت‌سازی (SE) ساختمان‌ها، بتن به‌عنوان یک دی‌الکتریک ساده در نظر گرفته می‌شود که دارای ضریب گذردهی نسبی  $\epsilon_r'(w) = \epsilon'(w) - j\epsilon''(w)$  می‌باشد. مطابق [۱۰ و ۳۵]، اگر بتن به صورت مواد "دبی" مدل‌سازی گردد، آنگاه وابستگی نفوذپذیری نسبی به فرکانس از روابط زیر پیروی خواهد کرد:

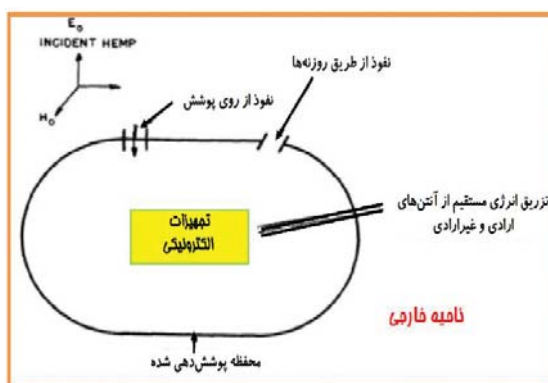
$$\epsilon_r'(w) = \epsilon_\infty + \frac{\Delta\epsilon}{1 + (\omega/\omega_r)^2} \quad (2)$$

$$\epsilon_r''(w) = \frac{(\omega/\omega_r)\Delta\epsilon}{1 + (\omega/\omega_r)^2} \quad (3)$$

در روابط (۲) و (۳)،  $\Delta\epsilon = \epsilon_{static} - \epsilon_\infty$  است.  $\epsilon_\infty$  و  $\epsilon_{static}$  نیز

#### ۴-۲- مدل‌سازی پالس الکترومغناطیسی

راه‌های نفوذ پالس الکترومغناطیسی به سیستم قدرت از طرق مختلف امکان‌پذیر است؛ لذا در صورت جلوگیری از ورود امواج الکترومغناطیسی به داخل پست، می‌توان از تجهیزات پست در مقابل آسیب‌پذیری ناشی از آن‌ها حفاظت نمود. راه‌های نفوذ پالس الکترومغناطیسی به ساختمان پست می‌تواند شامل دیوارها، درب، کانال‌های تهویه، آنتن، زمین و مسیر عبور کابل‌ها باشد؛ در این حالت، میزان نفوذ امواج به داخل تجهیزات و اثرگذاری بر آن‌ها را می‌توان تابع دو پارامتر شدت میدان مغناطیسی و نحوه پوشش (طرح حفاظتی در برابر امواج الکترومغناطیسی) دانست [۹]. به‌طور کلی، مطابق شکل (۳)، مدهای نفوذ و ترویج امواج الکترومغناطیسی تابش میدان خارجی به یک محفظه پوشش‌داده‌شده (نظیر تجهیزات الکتریکی/ الکترونیکی یک سیستم قدرت) را می‌توان در قالب سه روش مختلف زیر بیان نمود:



شکل ۳- سه مود نفوذ و ترویج امواج به محفظه پوشش‌داده‌شده [۳۴]

الف) انتشار از روی پوشش<sup>۱</sup>: میدان‌های حاصل از EMP به دلیل اثر پوستی، از دیوارهای هادی غیر ایده‌آل و قفسه‌های پوشش‌دهی (شیلد) شده عبور می‌کند. عبور سیگنال از دیوارهای محفظه، معمولاً یک پدیده پایین‌گذر به حساب می‌آید؛ چرا که با افزایش فرکانس، عمق پوستی<sup>۲</sup> کم می‌شود و عبور سیگنال‌های مختلف از پوشش کاهش می‌یابد؛ بنابراین انتشار از روی پوشش بیشتر شامل میدان‌های مغناطیسی فرکانس پایین می‌باشد. در حالت کلی، قابلیت نسبی یک پوشش، برای ممانعت از ورود میدان‌های الکتریکی و مغناطیسی و همچنین موج‌های صفحه‌ای است. طبق تعریف، توانایی یک محفظه برای کاهش تشعشع یا بهبود ایمنی تجهیزات الکتریکی و الکترونیکی در قبال تداخل‌های فرکانسی، از طریق پارامتری تحت عنوان پارامتر

3- Permittivity  
4- Electrical Conductivity  
5- Relative Permittivity

1- Diffusion Through the Shield  
2- Skin Depth

فرکانس های مربوط به امواج الکترومغناطیسی، نقش یک آنتن یا کارایی تشعشعی بالا را ایفا می کنند، اغلب به عنوان منابع اصلی تداخل الکترومغناطیسی (EMI) منظور می گردند؛ بنابراین تحلیل و شناسایی نسبت اندازه میدان در حضور روزه، نسبت به اندازه میدان در غیاب آن، به عنوان معیاری از نفوذ امواج الکترومغناطیسی به درون تشدیدکننده های حفره ای در حضور روزه های مختلف، مسئله ای کلیدی است. این نکته، مبین تحلیل پارامتر کیفیت حفاظت سازی (SE) است. همان طور که قبلاً نیز اشاره شد، توانایی یک محفظه برای کاهش تشعشع یا بهبود ایمنی تجهیزات الکترونیکی و الکترونیکی در قبال تداخل های فرکانسی، از طریق پارامتری تحت عنوان پارامتر SE تعریف می گردد؛ در واقع، معیار اصلی تعیین میزان حفاظت سیستم ها، پارامتر SE است. به منظور تحلیل و بررسی میزان کیفیت حفاظت سازی (SE) در سیستم قدرت مورد نظر این مقاله، موضوع به سه بخش زیر تقسیم می گردد:

الف) بررسی یک محفظه در دو حالت؛

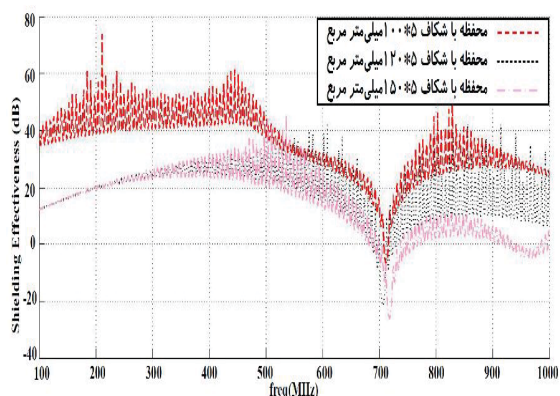
ب) یک رک نوعی در اتاق فرمان در چهار حالت؛

ج) اتاق فرمان با دو نوع سازه.

#### ۵-۱- شبیه سازی میزان SE برای یک محفظه

##### ۵-۱-۱- یک محفظه چهار گوش کوچک با یک روزه

این محفظه با ابعاد  $300 \times 300 \times 120$  میلی متر مکعب، دارای روزه مستطیلی شکل در سه بعد مختلف می باشد. با توجه به شکل (۴)، در فرکانس ۷۰۰ مگاهرتز، هر سه محفظه با رزونانس مواجه می گردند که در این حالت، هیچ گونه حفاظت الکترومغناطیسی نخواهند داشت. لازم به ذکر است که در کلیه آزمون ها، پلاریزاسیون موج صفحه ای تابانیده شده به محفظه در جهت محور Y و پروب نیز در جهت این محور قرار دارد.



شکل ۴- نمایشی از نتیجه شبیه سازی برای یک محفظه با سه نوع شکاف

به ترتیب، مقادیر نهایی و اولیه نفوذپذیری در بازه فرکانسی مورد نظر خواهند بود.  $H_{\text{eff}}$  فرکانس زاویه ای منحنی می باشد که بر حسب رادیان بر ثانیه بیان می گردد.

ب) نشت از روزه ها<sup>۱</sup> (در رک ها و سایر تجهیزات الکترونیکی و الکترونیکی پست): هر پوششی به ناچار دارای درها، پنجره ها، حفره ها و درزهایی است که می تواند منشأ ورود امواج و تشکیل میدان های الکترونیکی / مغناطیسی باشد. نشت میدان از یک روزه به اندازه نوع ساختار و مکان روزه های روی محفظه، بستگی دارد. از طرفی، چون حملات EMP باند پهن، محدوده وسیعی از فرکانس را در بر می گیرد، لذا به منظور مقابله با حملات EMP، باید برای چنین روزه هایی، تمهیداتی اندیشیده و در مورد اثر آن ها بر روی پوشش، تجدید نظر کرد [۷ و ۳۴].

ج) ورود از طریق آنتن های ارادی و غیر ارادی<sup>۲</sup>: اصولاً، آنتن ها برای جمع آوری انرژی الکترومغناطیسی در محدوده فرکانسی خاص طراحی می شوند؛ ولی از آنجائی که EMP می تواند از پهنای باند و دامنه بسیار بزرگی برخوردار باشد، لذا احتمال طراحی در فرکانس های خارج از محدوده و دریافت انرژی قابل توجه از یک حمله EMP در جهات خارج از جهت اصلی نیز وجود دارد. از آنجائی که آنتن ها، اساساً محل ورود انرژی الکترومغناطیسی به سیستم هستند، نمی توان آن ها را با قفسه ها پوشش داد؛ بلکه آن ها باید کاملاً در معرض دریافت امواج قرار بگیرند؛ اما از طرفی انتظار نمی رود که دامنه موج ورودی از مقدار تقریبی خاصی بالاتر باشد؛ زیرا در این صورت، بر اساس دامنه سیگنال ورودی، سیستم های دریافت و پردازش سیگنال بعد از آنتن سطوح مختلف، آسیب دیدگی را تجربه خواهند کرد و این تخریب در برابر امواج EMP، بسیار شدید و حتمی خواهد بود؛ اما آنتن های غیر ارادی، شامل لوله ها، خطوط برق، کابل های اطلاعات و کلاً تمام هدایت کننده های الکترونیکی گسترده وسیعی دارند و برخلاف آنتن های ارادی، ناشناس هستند. در نتیجه، مقابله با آنها، انرژی و دقت بیشتری را می طلبد. این نوع آنتن ها در صورت داشتن طول زیاد، می توانند با انباشت مقدار زیاد انرژی در خود، هنگام ورود به داخل محفظه، انرژی الکترومغناطیسی قابل توجهی با خود همراه داشته و صدماتی به اجزای سیستم قدرت وارد نمایند [۷ و ۳۴].

#### ۵- شبیه سازی سیستم قدرت در مقابل تهدیدات

##### الکترومغناطیسی

مبنای فعالیت های مدل سازی و شبیه سازی در این بخش، براساس نفوذ امواج الکترومغناطیسی به درون اجزای یک سیستم قدرت از طریق روزه ها و پوشش آن ها خواهد بود. از آنجائی که این روزه ها در

1- Leakage Through Aperture

2- Intentional and Inadvertent Antenna

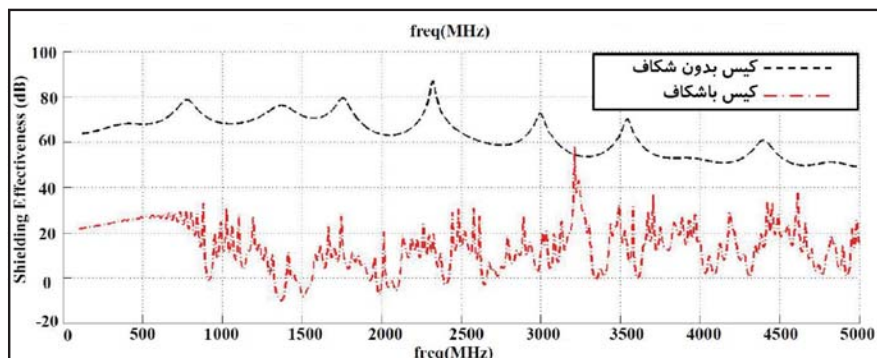
## ۵-۱-۲- یک کیس رایانه

این کیس با ابعاد  $180 \times 420 \times 445$  سانتی متر مکعب، دارای روزنه‌های دایره‌ای شکل به قطر ۲ میلی‌متر و فاصله مرکز تا مرکز ۷ میلی‌متر است. مختصات اولین روزنه در قسمت جانبی، درست در مرکز مختصات محفظه قرار دارد و مختصات اولین روزنه در قسمت پشتی کیس از مرکز مختصاتی ۳۰ میلی‌متر در جهت Y و ۷۰ در جهت Z است. در قسمت پشت کیس، تعداد ۶۴ عدد روزنه به صورت ماتریس  $8 \times 8$  و در قسمت جانبی آن نیز، تعداد ۱۲۱ روزنه با مشخصات فوق، به صورت ماتریس  $11 \times 11$  طراحی شده است. میزان SE، یکبار با تابش موج صفحه‌ای به قسمت جانبی و بار دیگر به قسمت عقب، محاسبه می‌گردد (پروپ در مرکز کیس قرار دارد). در حالت بعد، سه شکاف مستطیلی شکل (محل نصب کارت‌های سخت‌افزاری)، با ابعاد

$5 \times 100$  میلی‌متر مربع ایجاد می‌گردد. مطابق شکل (۵)، مقدار SE برای حالت بدون شکاف‌های مستطیلی شکل، تقریباً بیش از ۵۰ دسی‌بل است و برای حالت با شکاف‌های مستطیلی شکل، محدوده SE به شدت کاهش می‌یابد. آزمایش نشان می‌دهد که با افزایش فرکانس، پارامتر یادشده، روال کاهش را با شدت بیشتری ادامه می‌دهد [۱۱].

## ۵-۲- یک رک نوعی در اتاق فرمان

در این بخش، از مشخصات رک SR328B با ابعاد  $600 \times 800 \times 1600$  میلی‌متر مکعب استفاده می‌شود. جدول (۲) و شکل (۶)، مشخصات آزمون و تغییرات SE در این رک را در شرایط مختلفی که مورد آزمون قرار گرفته، نشان می‌دهند:

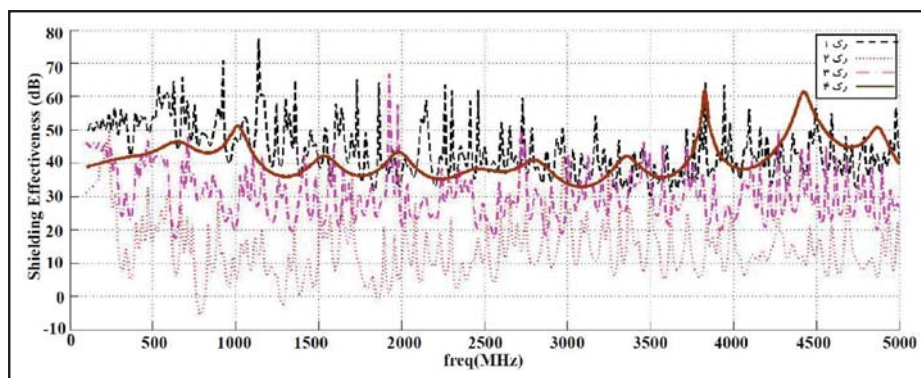


شکل ۵- نتیجه شبیه‌سازی برای کیس رایانه با روزنه‌های مختلف

جدول ۲- تغییرات SE در رک SR328B برای شرایط مختلف

شماره آزمون / رک	تعداد روزنه	نوع روزنه	مشخصات روزنه	نحوه قرارگیری روزنه	نتیجه آزمون
۱	۶	دایروی	• قطر هر روزنه: ۱۰ میلی‌متر • فاصله مرکز تا مرکز: ۲۰ میلی‌متر	دو ردیف سه‌تایی	مقدار SE در همه فرکانس‌ها، مقداری مثبت و تقریباً بیش از ۴۰ دسی‌بل است.
۲	۶	چهارگوش	• ابعاد: $5 \times 150$ میلی‌متر • فاصله مرکز تا مرکز: ۱۰۰ میلی‌متر	دو ردیف سه‌تایی	وجود روزنه‌های چهارگوش، باعث ایجاد رزونانس‌های زیادی می‌شود و مقدار SE در فرکانس ۸۰۰ مگاهرتز منفی است.
۳	۲۵۶	دایره‌ای	• قطر هر روزنه: ۱۰ میلی‌متر • فاصله مرکز تا مرکز: ۲۰ میلی‌متر	۴ ماتریس $8 \times 8$ در یک گوشه	مقدار SE در همه فرکانس‌ها، مقداری مثبت و تقریباً بیش از ۲۵ دسی‌بل است.
۴	۴+۲۵۶	چهارگوش + دایروی	• ابعاد چهارگوش ماتریسی: $10 \times 10$ میلی‌متر • ابعاد چهارگوش تک: $20 \times 20$ میلی‌متر • قطر روزنه دایره‌ای: ۲۰ میلی‌متر	• ۴ ماتریس $8 \times 8$ در چهار گوشه • دو ردیف دو تایی	مقدار SE در همه فرکانس‌ها، مقداری مثبت و تقریباً بیش از ۳۵ دسی‌بل است.

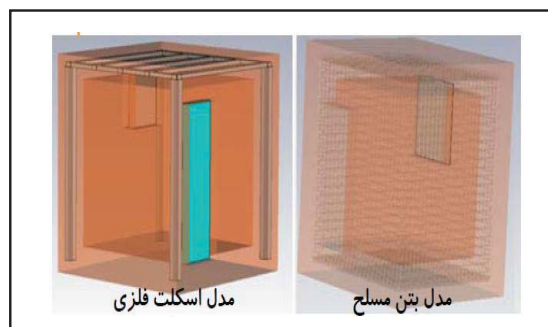




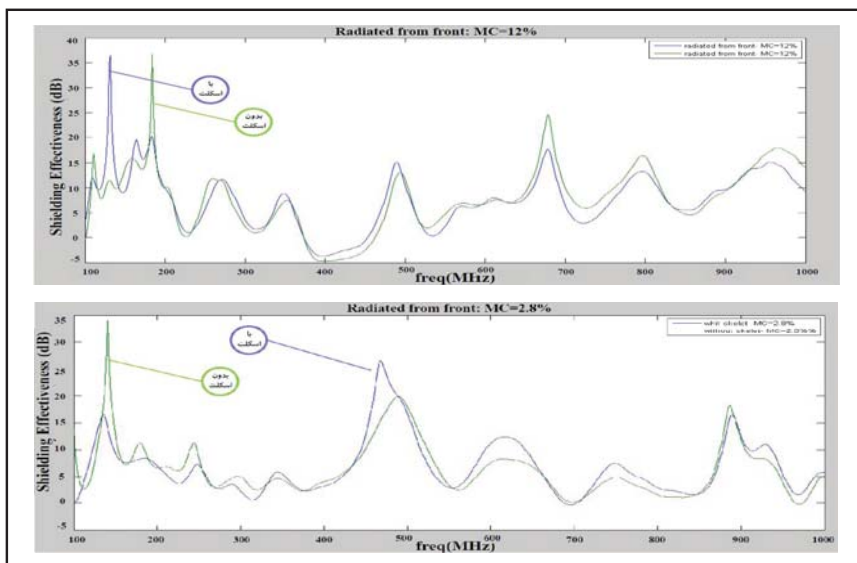
شکل ۶- نمایشی از نتیجه شبیه سازی برای یک رک با چهار نوع روزه

الف) اتاق فرمان با ساختار اسکلت فلزی: در اولین آزمون این بخش، ساختار بتنی با/ بدون وجود اسکلت فلزی مورد بررسی قرار می گیرد. اسکلت فلزی، متشکل از ۴ ستون است که در فاصله ۲/۱۵ متری از یکدیگر قرار داده شده اند. همچنین در سقف اتاق نیز تیرچه هایی به ابعاد ۵×۱۰×۲۴۰ سانتی متر مکعب به فاصله ۶۰ سانتی متری از یکدیگر قرار داده شده اند. برای این اتاق، یک در و پنجره فلزی به ترتیب با ابعاد ۷۰×۷۰ سانتی متر مربع و ۱۸۵×۷۰ سانتی متر مربع طراحی شده است. شکل (۸)، میزان SE اتاق فرمان را در دو حالت با / بدون اسکلت و دو نوع بتن با دو رطوبت ۱۲ و ۲/۸ درصد را نشان می دهد. همان طور که مشاهده می شود، وجود اسکلت تاثیر چندانی در ارتقای میزان SE سازه ندارد.

۳-۵- شبیه سازی میزان SE برای اتاق فرمان با دو نوع سازه در این قسمت به بررسی یک اتاق فرمان نوعی به ابعاد ۲×۲×۲ متر دارای در و پنجره، مطابق شکل (۷)، در دو حالت با ساختار اسکلت فلزی و بتن مسلح پرداخته می شود.



شکل ۷- مدل سازی اتاق فرمان در دو حالت



شکل ۸- نتیجه شبیه سازی برای سازه اتاق فرمان با اسکلت فلزی

است. در مجموع نتایج مورد نظر در این مقاله را می‌توان در موارد زیر خلاصه کرد:

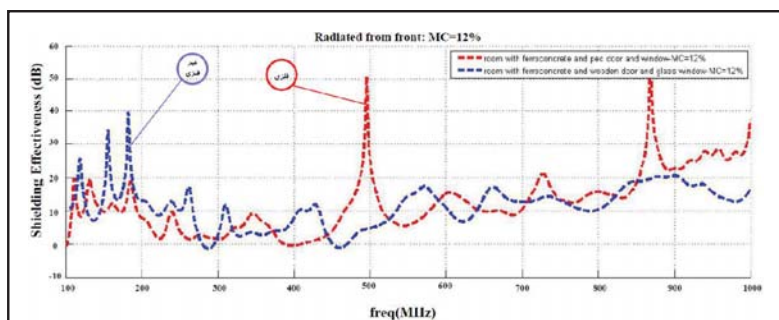
- میزان SE، علاوه بر عوامل محیطی، به طراحی محفظه شیلد، شکل و ابعاد روزنه‌ها، چگونگی چینش روزنه‌ها، جنس محفظه، زاویه تابش موج و مشخصات موج بستگی دارد.
- از آنجائی که روزنه‌های دایروی نسبت به روزنه‌های چهارگوش حفاظت الکترومغناطیسی بالاتری دارند، لذا روزنه‌های تعبیه شده برای کلیدهای سکسیونر، بریکر، پنل‌های نمایش و اندازه‌گیری باید به صورت دایروی طراحی شوند.
- میزان SE در نزدیکی روزنه کمتر است؛ از این رو، مدارهای حساس واقع در داخل رک‌ها تا حد امکان باید از روزنه‌ها دورتر باشند.
- روزنه‌هایی که در راستای هم قرار گرفته‌اند، پارامتر SE را پایین می‌آورند.
- اگر ساختار بتن مسلح از نوع PEC (هادی کامل) باشد، آنگاه موجب افزایش SE خواهد شد. با اضافه کردن پودر آلومینیوم به بتن مسلح این امر محقق خواهد شد.
- در فرکانس‌های پایین، میزان SE توسط ساختار مش‌گونه موجود در بتن تعیین می‌شود و در فرکانس‌های بالاتر، میزان رطوبت و ساختار سایر اجزای اتاق (یعنی جنس در و پنجره) بر میزان SE تاثیر گذارند.
- وجود اسکلت فلزی، تقریباً هیچگونه تاثیری در میزان SE ساختمان ندارد.
- از آنجائی که تجهیزات الکترونیکی در رایانه‌ها، مدارات مجتمع و میکروکنترلرها معمولاً در حضور میدان الکتریکی بیشتر از ۳۰ ولت بر متر عملکرد درستی ندارند، لذا دامنه میدان داخل سیستم قدرت باید کمتر از حد آسیب‌پذیری اجزای آن باشد.
- از آنجائی که میدان ناشی از تهدیدات الکترومغناطیسی موردنظر این تحقیق (HEMP و HPEM)، بین ۵۰ الی ۱۰۰ کیلوولت بر متر است، لذا ایجاد حفاظت بین ۶۰ تا ۸۰ دسی‌بل در سیستم قدرت، منطقی و مطلوب است.

ب) اتاق فرمان با ساختار بتن مسلح: در دومین آزمون این بخش، برای ایجاد سازه بتن مسلح، از میله‌گردهای استیلی با قطر ۱cm و فاصله ۷/۵cm از یکدیگر استفاده می‌گردد. بتن به کاررفته در این سازه، مثل آزمون قبل دارای دو میزان رطوبت ۱۲ و ۲/۸ درصد است. ابعاد درب و پنجره اتاق فرمان برای این حالت نیز مشابه حالت قبل بوده و جنس‌شان در حالت اول از چوب و در حالت دوم از فلز است. شکل (۹)، نتیجه شبیه‌سازی برای حالتی که میزان رطوبت ۱۲٪ است را نشان می‌دهد. همان‌طور که در شکل مشاهده می‌شود، میزان SE در هر دو نمونه تا فرکانس ۴۵۰MHz، تقریباً یکسان و در حدود چند دسی‌بل است؛ اما در بازه فرکانسی بالاتر از این مقدار، میزان SE برای سازه دارای در و پنجره فلزی با افزایش بیشتری نسبت به سازه با در و پنجره غیرفلزی (چوبی) مواجه می‌گردد.

## ۶- نتایج و پیشنهادات

### ۶-۱- نتیجه‌گیری

با گسترش به کارگیری تهدیدات الکترومغناطیسی از سوی کشور هدف، لازم است برای محافظت از اجزای سامانه فرماندهی و کنترل قدرت، راه‌کارهایی در مراحل مختلف فرایند پدافند غیرعامل، توسعه و اجرایی گردد. هرچند به کارگیری راه‌کارهای مورد نظر برای مقابله با این تهدیدات از نظر اقتصادی بسیار پرهزینه است، ولی منافع ناشی از این اقدامات در زمان‌های بحرانی، قابل توجه خواهد بود. در این مقاله، بررسی تاثیر تهدیدات الکترومغناطیسی بر روی اجزای یک سیستم قدرت و ارائه راه‌کارهای نظام‌مند برای بهره‌برداری از اصول پدافند غیرعامل با هدف تقویت حوزه فرماندهی و کنترل، یک نوآوری در این مقاله قلمداد می‌شود. در این حالت، قبل از اجرای بسیاری از این راه‌کارها می‌توان ابتدا از طریق مدل‌سازی و شبیه‌سازی، آن‌ها را مورد آزمون قرار داد و سپس پیاده‌سازی نمود؛ هرچند ارزیابی پارامتر SE یک تشدیدگر حفره‌ای واقعی، اغلب یکی از مسائل پیچیده در حوزه الکترومغناطیس است و مقدار این پارامتر به پارامترهای متعددی از قبیل منبع موج الکترومغناطیس خارجی، ابعاد و هندسه محفظه، تعداد و هندسه و ابعاد روزنه‌ها، فرکانس کار و غیره وابسته



شکل ۹- نتیجه شبیه‌سازی برای سازه اتاق فرمان با بتن مسلح

## ۶-۲- ارائه راهکار

قبل از پیشنهاد چند راهکار، لازم است سه راهبرد حفاظتی برای اجرای یک سیستم قدرت مورد بررسی قرار گیرند. این راهکارها به منظور تداوم کار در زمان بحران تعیین شده‌اند. این راهبردها که متناسب با عملکرد اجزای سیستم قدرت منظور می‌گردند، به شرح زیر می‌باشند [۱۲]:

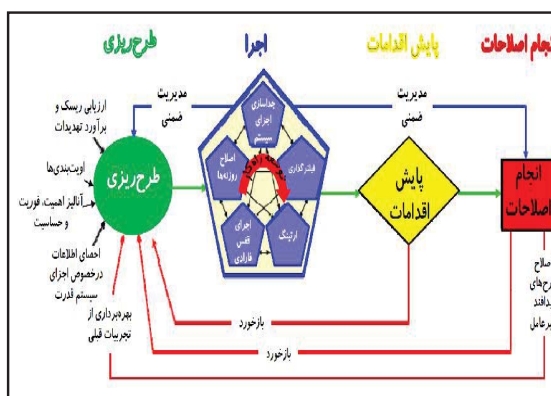
**راهبرد حفاظتی اول:** در این راهبرد، علاوه بر کل فرایند تولید و اجرای فعالیت‌های مهم، تجهیزات و ساختارهای مورد نیاز برای ادامه فعالیت در شرایط وقوع بحران، مقاوم سازی می‌شوند.

**راهبرد حفاظتی دوم:** تنها تجهیزات ضروری مورد نیاز فعالیت پست قدرت حفاظت می‌شوند.

**راهبرد حفاظتی سوم:** در این راهبرد، تنها تجهیزات پشتیبان تولید برق حفاظت می‌شوند تا پس از وقوع بحران نیز مجدداً راه اندازی گردند.

به منظور تحقق راهبردهای حفاظتی فوق، مدل مطابق شکل (۱۰) پیشنهادی می‌گردد. این مدل، با الهام از چرخه فرماندهی و کنترل، برای پوشش دهی به اقدامات پدافند غیرعامل، در قالب گام‌های اساسی زیر ارائه می‌گردد:

**الف) طرح ریزی:** در گام ابتدایی، باید در جستجوی اطلاعات جدید و درک شرایطی که موجود است، بود. جمع آوری اطلاعات به همراه ارزیابی و تحلیل آن‌ها در این مرحله، آگاهی تیم اجرایی را از وضعیت موجود، ارتقاء می‌بخشد.



شکل ۱۰- مدل پیشنهادی برای تحقق راهبردهای پدافند غیرعامل در سیستم قدرت جهت مقابله با تهدیدات الکترومغناطیسی

ب) اجرا: در گام بعد، بر اساس نیازمندی‌ها به توسعه راه کارها مبادرت می‌گردد.

ج) پایش اقدامات: در این گام، از طریق جمع‌آوری گزارشات، دسته‌بندی و تحلیل آنها، به پایش محیط اقدام پرداخته می‌شود.

د) انجام اصلاحات: نتیجه تحلیل‌ها در گام قبلی، میزان اصلاح طرح‌های پدافند غیرعامل را به دست خواهد داد و از طریق اخذ بازخورد این چرخه تا جایی که نیازمندی‌ها را مرتفع سازد، ادامه می‌یابد.

## مراجع

- تواضع، محمدحسین و سایر؛ حفاظت از ساختمان‌ها و تجهیزات الکترونیکی در برابر تهدیدات EMP؛ همایش سراسری پدافند غیرعامل در علوم مهندسی با تأکید بر استتار، اختفا و فریب، تهران، دانشگاه جامع امام حسین (ع)، (۱۳۹۲).
- سپهری، محمد و سایر؛ اقدامات پدافند غیرعامل در تاسیسات نیروگاهی و برق‌رسانی، همایش سراسری پدافند غیرعامل در علوم مهندسی با تأکید بر استتار، اختفا و فریب؛ تهران، دانشگاه جامع امام حسین (ع)، (۱۳۹۲).
- سلطانی، مسعود؛ تجهیزات نیروگاه؛ انتشارات دانشگاه تهران، جلد ۱، صص. ۸۷-۱۲۰، (۱۳۸۳).
- فهیمی، شهرام؛ آشنایی با سیستم‌های کنترل DCS؛ گروه صنعتی ندا. <http://www.nedaco.com>
- مهرابی، زهرا؛ انتقال برق از ایستگاه تا کنترل دیسپاچینگ؛ برق منطقه‌ای فارس، (۱۳۸۴).
- سند راهبردی پدافند غیرعامل کشور (۱۳۸۵-۱۴۰۵)، سازمان پدافند غیرعامل کشور؛ (۱۳۸۶).
- دانایی، محمد مهدی و سایر؛ تحلیل و بررسی حساسیت پارامترهای حفاظت اتناق کامپیوتر در برابر تهدیدات الکترومغناطیسی و ارائه راهکارهای حفاظتی مناسب؛ پنجمین همایش سراسری پدافند جنگ‌های نوین، دانشگاه جامع امام حسین (ع)، تهران، (۱۳۹۱).
- آشنایی با EMP و اثرات آن؛ نشریه پدافند غیرعامل؛ قرارگاه پدافند هوایی خاتم‌الانبیاء (ص)، شماره ۲، (۱۳۸۳).
- صادقی‌زاده، وحید؛ کوثری، سعید؛ معرفی روش‌های حفاظت از ساختمان و تجهیزات الکترونیکی در مقابل تهدیدات EMP؛ همایش مدیریت بحران در صنعت ساختمان، سازه‌های زیرزمینی و شریان‌های حیاتی، اصفهان، (۱۳۹۱).
- آبروش، حسن؛ معرفی و شبیه‌سازی روش جدید اندازه‌گیری ضریب تلفات عایقی و پرمتیویته نسبی، نشریه دانشکده فنی، دانشگاه تهران، جلد ۴۱، شماره ۵، صص ۵۴۰-۵۳۵، (۱۳۸۶).
- دانایی، محمد مهدی؛ آذربادگان، مرتضی؛ مقاوم‌سازی تجهیزات الکترونیکی در برابر تهدیدات الکترومغناطیسی؛ کنفرانس جنگ الکترونیک ایران، دانشگاه جامع امام حسین (ع)، (۱۳۹۱).

24. Jian, Zhou, et al; Electric Grid Vulnerability Assessment under Attack-Defense Scenario Based on Game Theory; IEEE PES Asia-Pacific on Power and Energy Engineering Conference (APPEEC); pp. 1-5; (2013).
25. Zhu, Yihai, et al; Risk-aware vulnerability analysis of electric grids from attacker's perspective; IEEE PES on Innovative Smart Grid Technologies (ISGT); pp. 1-6; (2013).
26. Hasse, peter; Overvoltage Protection of Low Voltage Systems; institution of Engineering and technology; second edition; Vol. 33; pp.2,43,67; (2008).
27. Radasky, William A.; Introduction to the Special Issue on High-Altitude Electromagnetic Pulse (HEMP); IEEE Transactions on Electromagnetic Compatibility; vol.55; No.3; pp. 410-411; (2013).
28. Kopp, C.; The Electromagnetic Bomb - a Weapon of Electrical Mass Destruction; <http://www.globalsecurity.org/military/library/report/apjemp.htm>
29. Cheldavi, Ahmad, and Danaei, Mohammad.M.; Capacitive Flux Compression Generator; Journal of IJE Transaction A: Basis; Vol.16; No.4; pp.337-342; (2003).
30. IEC 61000-2-9; Electromagnetic compatibility (EMC) – Part 2: Environment – Section 9: Description of HEMP environment – Radiated disturbance; (1998-2002).
31. Eng, C.D.; Development of the Time Dependence of the Nuclear (E1) HEMP Electric Field; IEEE Transactions on Electromagnetic Compatibility; vol.53; No.3; pp.737-748; (2011).
32. IEC 61000 -1-5; Electromagnetic compatibility (EMC) - part 1: High power electromagnetic (HPEM) effects on civilian systems; (2004).
33. Lovetri, J. et al; Microwave interaction with a personal computer: experiment and modeling; Proc. of the 13th Int. Zurich Symp. On EMC; Zurich, Switzerland; pp. 203-206; (1999).
34. Vijayaraghavan, G., et al; Practical grounding, bonding, shielding and surge protection; Elsevie; pp.193-206; (2004).
35. Ogunsola, Ade, et al; Modeling shielding properties of concrete; 17th International Zurich Symposium on Electromagnetic Compatibility; Singapore; pp.34-37; (2006).
۱۲. سازمان پدافند غیرعامل کشور، دستورالعمل‌های اجرایی پدافند غیرعامل: مقابله با بحران‌های EMP در وزارت‌خانه نیرو، کد آئین‌نامه: ۱۲۰ و ۱۱۹-۲۱۲۳، نوع دستورالعمل دوم.
13. Zimmerman, Rea; Critical infrastructure and interdependency; McGraw-Hill Homeland Security Handbook (David G. Kamien, Editor), Ch. 34; pp.523-545; New York; (2006).
14. Peerenboom, James P. and Fisher, Ronald E.; Analyzing cross-sector interdependencies; Proceeding of 40th Hawaii International Conference on System Sciences; pp.112-121; (2007).
15. Zimmerman, Rea; Decision making and the vulnerability of interdependent critical infrastructure; IEEE International Conference on Systems, Man and Cybernetics; Vol.5; pp.4059-4063; (2004).
16. Johnsson, Jonas; Risk and Vulnerability analysis of interdependent technical infrastructures: Addressing Socio-Technical Systems; PH.D. Dissertation, Department of Measurement Technology and Industrial Electrical Engineering, Lund University, Sweden; (2010).
17. Ezell, Barry C.; Infrastructure Vulnerability assessment model (I-VAM), Risk Analysis; Vol.27; No.3; pp.571-583; (2007).
18. Amin, Massud; Security Changes for the electricity infrastructure; Computer; Vol.35; pp.8-10; (2002).
19. Physical vulnerability of electric systems to natural disasters and sabotage, Tech. Rep. OTA-E-453; US Congress, Office of Technology Assessment; Washington; DC; (1990).
20. Hu, Xiaofeng, et al; Modeling of Attacking and Defending Strategies in Situations with Intentional Threats; Proceedings of the 9th International ISCRAM Conference – Vancouver; Canada; (2012).
21. Bompard, Ettore, et al; Risk assessment of malicious attacks against power systems; IEEE Transaction on Systems, Man, and Cybernetics; vol. 39; No. 5; pp. 1074-1085; (2009).
22. Sierla, S.A. et al; Security risk analysis for smart grid automation; IEEE 23rd International Symposium on Industrial Electronics (ISIE); pp. 1737 – 1744; (2014).
23. Koc, Yaku, et al; Structural vulnerability assessment of electric power grids; IEEE 11th International Conference on Networking, Sensing and Control (ICNSC); pp. 386 – 391; (2014).

## Power System Modeling and Simulation of Power Systems with Passive Defense Approach against Electromagnetic Attacks

R. Azadehdel<sup>1</sup>

H. Monsef<sup>2</sup>

H. Dehghani<sup>3</sup>

### Abstract

Key infrastructures especially electrical power systems, from their inception to the present, have been an integral part of life in human society; therefore, have great potential to put at risk by threat factors; for this reason, the security of their systems is tied to the national security of the overall community and trying to maintain this security is of utmost importance to senior managers and decision makers. The factors threatening power systems include natural and human disasters. The main purpose of this paper will be modeling and simulating power systems based on passive defense against electromagnetic threats, and studying measures to enhance safety and security strategies against these types of threats.

Threat detection by determining their occurrence scenarios in which they provide guidelines to protect against interference or degradation in the power system to maintain business processes, assets and related resources is necessary. In this paper, the purpose of power system is a high voltage substation with a control room and the threats to that are High Altitude EMP (HEMP) and High Power EMP (HPEM). Since the major components of the power system in this paper, include electronic cabinets, control racks and concrete structures are for a high voltage substation, and therefore; the Shielding Effectiveness (SE) in each of them will be examined using simulation. The results show that wider rectangular windows mounted in the said chambers structures and racks have the lowest and the circular windows have the highest electromagnetic shielding. Simulation results for substations structure show that the concrete structures have almost no protection against threats, but when used in reinforced concrete structure, the parameter SE at low frequencies will be improved. A review of the protective measures, based on the results of previous studies and conducted simulations, constitute provisions of the final section of this paper.

**Key Words:** *Power System, Threats, HEMP, HPEM, Shielding Effectiveness*

---

1- MS Candidate of electricity & Electronics, Islamic Azad University, South Tehran Branch (Azadehdelir@yahoo.com)- Writer-in-Charge

2- Associate Professor and Academic Member of Malek Ashtar Technological University

3- Assistant Professor and Academic Member of Malek Ashtar Technological University